

2018:00346 - Åpen

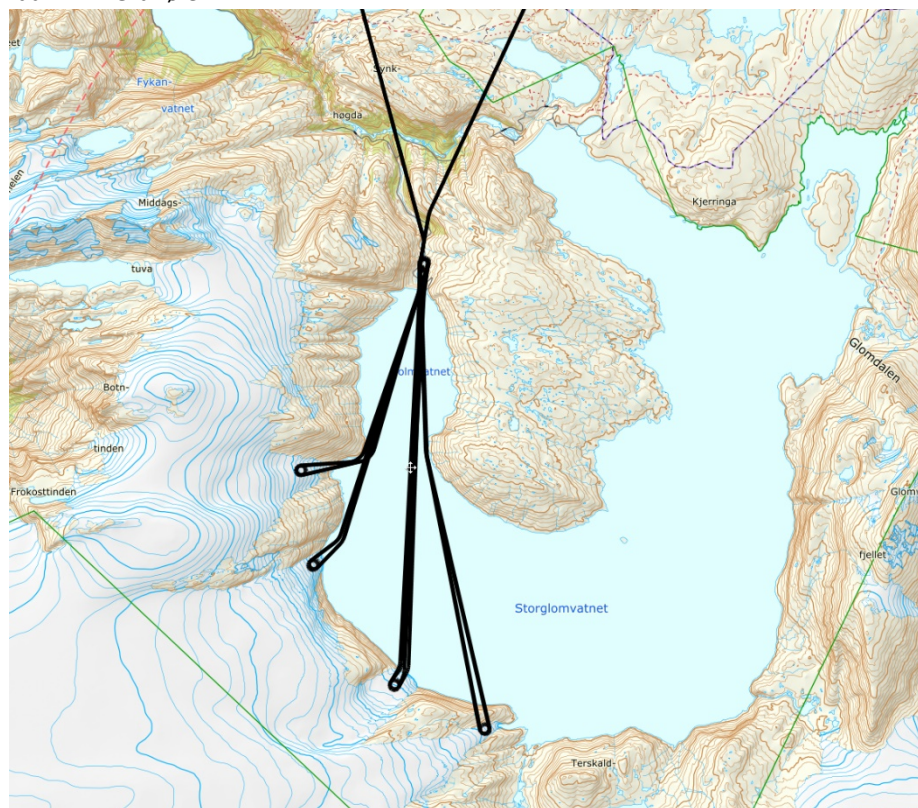
Rapport

Støy fra helikoptertrafikk ved planlagt uttak av is fra Svartisen

Forfatter(e)

Herold Olsen

Idar L. N. Granøien



SINTEF Digital

Postadresse:
Postboks 4760 Torgarden
7465 Trondheim

Foretaksregister:
NO 948 007 029 MVA

Rapport

Støy fra helikoptertrafikk ved planlagt uttak av is fra Svartisen

EMNEORD:

Beregninger; Flystøy;
Akustikk; Helikopter

VERSJON

1.0

DATO

2018-03-21

FORFATTER(E)

Herold Olsen
Idar L. N. Granøien

OPPDRAGSGIVER(E)

SVAICE AS

OPPDRAGSGIVERS REF.

Geir Olsen

PROSJEKTNR

102018017

ANTALL SIDER OG VEDLEGG:

30

SAMMENDRAG

Det er utarbeidet støysonkart i henhold til Klima- og miljødepartementets retningslinje T- 1442/2016 for planlagt aktivitet med SVAICE sitt uttak av is fra Svartisen. Beregningene er utført ved hjelp av NORTIM, et verktøy som tar hensyn til topografi ved beregning av lydutbredelse fra fly- og helikopteraktivitet.

Beregningene viser støybelastningen på omgivelsene for planlagt aktivitet i 2018, samt for maksimal aktivitet på fire alternative steder av is.

UTARBEIDET AV

Herold Olsen

SIGNATUR**KONTROLLERT AV**

Rolf Tore Randeberg

SIGNATUR**GODKJENT AV**

Bengt Holter

SIGNATUR

RAPPORTNR
2018:00346

ISBN
978-82-14-06648-7

GRADERING
Åpen

GRADERING DENNE SIDE
Åpen

Historikk

VERSJON	DATO	VERSJONSBEKRIVELSE
0.1	2018-03-07	Utkast til rapport

1.0	2018-03-21	Endelig utgave
-----	------------	----------------

Innholdsfortegnelse

1	INNLEDNING	4
2	GENERELT OM FLYSTØY	5
2.1	Akustiske størrelser.....	5
2.2	Flystøyens egenskaper og virkninger	5
2.2.1	Søvnforstyrrelse som følge av flystøy.....	5
2.2.2	Generell plage av flystøy	6
3	MILJØVERNDEPARTEMENTETS RETNINGSLINJE	8
3.1	Måleenheter	8
3.2	Støysoner til arealplanlegging.....	8
3.2.1	Definisjon av støysoner	8
3.2.2	Utarbeidelse av støysonekart og implementering i kommunale planer	9
3.2.3	Kartlegging av stille områder	9
3.3	Beregningsmetode.....	9
3.3.1	Dimensjonering av trafikkgrunnet	10
3.3.2	Beregningsprogrammet NORTIM	10
4	KARTLEGGING I HENHOLD TIL FORSKRIFT TIL FORURENSNINGSLOVEN	11
4.1	Innendørs støy	11
4.1.1	Beregning med normtall for fasadedempning	11
4.1.2	Beregning med frekvensspekter.....	11
4.2	Strategisk støykartlegging.....	12
5	OMGIVELSER	13
5.1	Digitalt kartgrunnlag og topografi	13
6	TRAFIKKSAMMENSETNING	15
7	TRAFIKKMØNSTER	16
8	BEREGNING OG RESULTATER	18
8.1	Støysoner for Scenario A, etter retningslinje T-1442/2016.....	18
8.2	Støysoner for Scenario B, etter retningslinje T-1442/2016	20
8.3	Sammenslåtte støysoner for Scenario B	28
9	Litteratur	30

1 INNLEDNING

SVAICE AS har gitt SINTEF i oppdrag å utarbeide støysonekart i henhold til Klima- og miljødepartementets retningslinje T-1442/2016 for planlagt aktivitet med SVAICE sitt uttak av is fra Svartisen. Støykartene gjelder for helikoptertransport av is ut fra bestemte områder i kanten av Svartisen til parkeringsplass for omlasting til bil like nedenfor Holmvassdammen. Tilstøtende aktivitet med helikoptertransport av utstyr og personell er inkludert. Det berørte området ligger i Meløy kommune i Nordland.

Kontaktperson for oppdragsgiver har vært Eirik Lind hos Rambøll. Ved SINTEF Digital, faggruppe for akustikk, er prosjektet bearbeidet av Herold Olsen, med Rolf Tore Randeberg som kvalitetssikrer og Bengt Holter som prosjektansvarlig.

Denne rapporten følger et standard format, hvor det først presenteres grunnleggende informasjon om støyregelverket i Norge og om beregningsprogrammet som benyttes. Deretter presenteres beregningsgrunnlaget og til sist resultatene fra beregningene.

Beregningene viser støybelastningen på omgivelsene for planlagt aktivitet i 2018, samt for maksimal aktivitet på fire alternative steder for uttak av is. I tillegg vises samle-kart som kombinerer støysonene for maksimal aktivitet for de fire alternativene.

2 GENERELT OM FLYSTØY

Hensikten med dette kapitlet er å gi en forenklet innføring om hvordan flystøy virker på mennesker. Framstillingen baserer seg på anerkjent viten fra det internasjonale forskningsmiljøet. Relevante måleenheter presenteres først.

2.1 Akustiske størrelser

L_{ASmaks}	Det A-veide maksimumsnivået for en støyhendelse (f.eks. en landing) målt med tidskonstant "slow", 1 sek. I flystøysammenheng benyttes ofte den forenklete skrivemåten L_{maks} eller L_{max} , idet A-veiting og 1 sek integrasjonstid er underforstått.
L_{pA}	Momentant A-veid lydtryknivå
L_{den}	Tidsveid ekvivalentnivå med 5 dB tillegg for kveld (19–23) og 10 dB tillegg for natt (23–07). Størrelsen skal normalt beregnes som et gjennomsnitt for hele året. Dette er hovedindeksen i det norske støyregelverket, og indeksen som anbefales av EU for å beskrive vanlig samfunnsstøy. I løpende tekst benyttes også skrivemåten DENL.
L_{dn}	Tidsveid ekvivalentnivå med 10 dB tillegg for natt (22–07). Brukes internasjonalt på samme måte som DENL. I løpende tekst benyttes også skrivemåten DNL.
L_{Aeq}	A-veid ekvivalentnivå. Korrekt skrivemåte i henhold til ISO er L_{pAT} , der T angir midlingstiden, f.eks. døgn. I løpende tekst benyttes ofte L_{AEQ} eller bare LEQ. Andre brukte varianter av denne er L_{day} , $L_{evening}$, L_{night} eller tilsvarende norske døgnbenevnelser, der disse er definert gjennom periodene for L_{den} .
MFN_T	Statistisk representativt maksimum flystøynivå for en døgnperiode T. Denne benyttes for nattperioden (23-07). Krav til hyppighet er at maksimumsnivået må opptre minimum tre ganger per uke.

2.2 Flystøyens egenskaper og virkninger

Flystøy har en del spesielle egenskaper som gjør den forskjellig fra andre typer trafikkstøy. Varigheten av en enkelt støyhendelse er forholdsvis lang, nivåvariasjonene fra gang til gang er gjerne store og støynivåene kan være kraftige. Det kan også være lange perioder med opphold mellom støyhendelsene. Flystøys frekvensinnhold er slik at de største bidrag ligger i ørets mest følsomme område og det er lett å skille denne lyden ut fra annen bakgrunnsstøy; så lett at man ofte hører flystøy selv om selve støynivået ikke beveger seg over nivået på bakgrunnsstøyen. Flystøy har også et betydelig innslag av lavfrekvente komponenter som gjør at den lett trenger inn i bygninger.

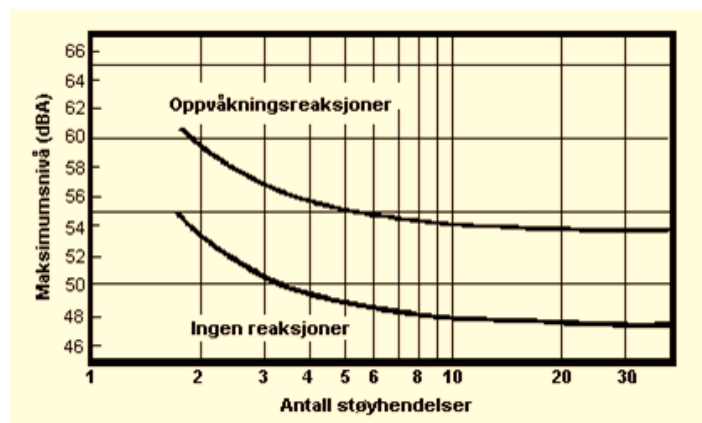
De to viktigste typer ulemper forbundet med flystøy er forstyrrelse av søvn eller hvile og generell irritasjon eller plage. Det er viktig å merke seg at fare for hørselsskader med få unntak begrenser seg til de personer som jobber nær flyene på bakken.

2.2.1 Søvnforstyrrelse som følge av flystøy

Det har vært bred internasjonal enighet om at **vekking** som følge av flystøy kan medføre en risiko for helsevirkninger på lang sikt, se litteraturlisten ref. [1, 2]. Det er **ikke** samme enighet på hvorvidt **endring av søvnstadium** (søvn dybde) har noen negativ effekt alene, dersom dette ikke medfører vekking.

Risiko for vekking er avhengig av hvor høyt støynivå en utsettes for (maksimumsnivå) og hvor mange støyhendelser en utsettes for i løpet av natten. Det er normalt store individuelle variasjoner på når folk

reagerer på støyen. Derfor brukes oftest en gitt sannsynlighet for at en andel av befolkningen vekkes for å illustrere hvilke støynivå og antall hendelser som kan medføre vekking, som illustrert i Figur 2-1.



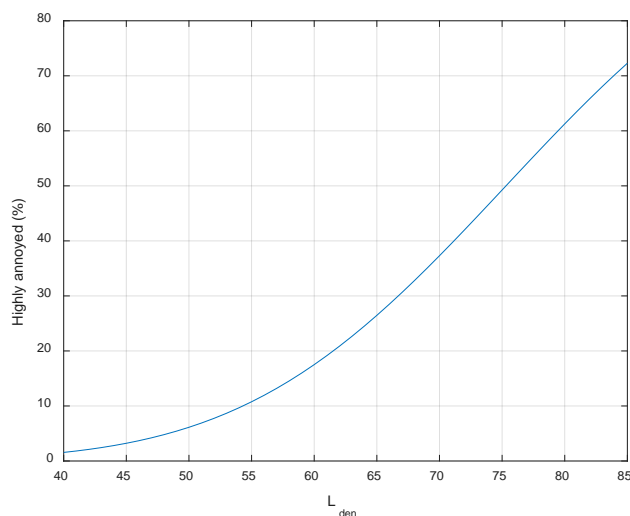
Figur 2-1. 10 % sannsynlighet for vekking resp. søvnstadiumsendring. Sammenheng mellom maksimum innendørs støynivå og antall hendelser [1].

Figuren viser at man tåler høyere støynivå uten å vekkes dersom støynivået opptrer sjelden. Når det blir mer enn ca. 15 støyhendelser i søvnperioden er ikke antallet så kritisk lenger. Da er det 10 % sjanse for vekking dersom nivåene overstiger 53 dB(A) i soverommet.

2.2.2 Generell plage av flystøy

Generell støyplage kan betraktes som en sammenfatning av de *ulemper* som en opplever at flystøyen medfører i den perioden man er våken. De mest vanlige beskrivelser er knyttet til *stress og irritasjon*, samt *forstyrrelser ved samtale og lytting* til TV/radio og musikk. Kartlegging av folks reaksjoner gjøres normalt gjennom spørreundersøkelser og man søker å finne resultater som er representative for gjennomsnittet av befolkningsgrupper. Slike undersøkelser har vært gjennomført i stor skala både internasjonalt og i Norge.

Sammenfatning av slike undersøkelser er også foretatt flere ganger og den mest omfattende og den som oftest refereres til er publisert av Miedema og Oudshorn, ref. [2]. Den vanligste parameteren som man rapporterer er hvor stor andel av befolkningen som sier seg svært plaget (highly annoyed) som funksjon av ekvivalent støynivå. Både L_{den} og L_{dn} er slike nivåstørrelser hvor det i tillegg gjøres en vekting av når på døgnet støyhendelsen forekommer. Den følgende figuren viser andel sterkt plaget som funksjon av L_{den} slik den er sammenfattet i [2].



Figur 2-2. Middelkurve for prosentvis antall personer sterkt plaget av flystøy som funksjon av ekvivalent støynivå utendørs [2].

Undersøkelsene rundt 1990 i Norge [3, 4] ble foretatt rundt Fornebu, Bodø og Værnes og inngår som en del av bakgrunns materialet i undersøkelsen til Miedema og Oudshorn. Resultatene herfra skiller seg ikke vesentlig ut fra middelkurven.

Senere undersøkelser i Norge [5] viser at for fire av fem undersøkte flyplasser så er reaksjonene lavere enn kurven i Figur 2-2, mens én av de fem viser sterkere reaksjoner. De fire med lavere respons er Bodø, Sola, Tromsø og Værnes, mens reaksjonene rundt Gardermoen skiller seg ut i motsatt retning. Årsaken til høyere respons her er antatt å være todelt; dels et vedvarende konfliktnivå mellom flyplass og naboer rundt Gardermoen, dels at tettere trafikk medfører færre stille perioder hvor man får tatt seg inn igjen.

3 MILJØVERNDEPARTEMENTETS RETNINGSLINJE

Retningslinje for behandling av støy i arealplanlegging (T-1442) ble fastsatt av Klima- og miljødepartementet i januar 2005. Retningslinjen ble revidert i 2012 og oppdatert i 2016. Før 2005 var retningslinjen basert på måleenheter utviklet i Norge i starten av 1980-tallet. T-1442 må kunne sies å representere en tilpasning til EU sitt direktiv fra 2001 siden den legger L_{den} til grunn for beregning av ekvivalentnivå. Den har likevel definert et statistisk representativt maksimumsnivå som er ment benyttet for vurdering av støy på natt. For flystøy er denne betegnet L_{5AS} .

3.1 Måleenheter

L_{den} er det mål som EU har innført som en felles måleenhet for ekvivalentnivå. Måleenheten legger forskjellig vekt på en støyhendelse i forhold til når på døgnet hendelsen forekommer. På kveld legges det til 5 dB til den reelle støyen og på natt adderes 10 dB. Et tillegg på 5 dB på ekvivalentnivået tilsvarer at ett fly på kveld teller som drøyt tre på dagtid, mens ett fly på natt teller som ti på dag. T-1442/2016 følger den internasjonalt mest vanlige inndelingen av døgnet ved at dagtid er definert fra kl. 07 til 19, kveld er mellom kl. 19 og 23, mens natta strekker seg fra kl. 23 til 07.

Maksimumsnivået L_{5AS} er i definert som det lydnivå "som overskrides av 5 % av hendelsene i løpet av en nærmere angitt periode, dvs. et statistisk maksimalnivå i forhold til antall hendelser". Denne enheten kommer bare til anvendelse for hendelser som forekommer på natt mellom 23 og 07, og var ment å skulle erstatte måleenheten MFN på natt. L_{5AS} vil imidlertid ikke identifisere de nivå som kan skape problem for søvnforstyrrelse relatert til Figur 2-1. Antallet "hendelser" vil kunne variere fra flyplass til flyplass og fra område til område ved en og samme flyplass. Når dimensjonerende nivå defineres til å være en prosent, vil man derfor ikke uten videre vite hvor mange hendelser dette representerer.

Retningslinje T-1442/2016 definerer ikke begrepet "hendelse". Det betyr at det ikke er gitt hvor mye støy som skal til for at man skal inkludere noe som en hendelse. I veilederen til T-1442/2016 er det angitt at L_{5AS} beregnes som MFN_{23-07} .

3.2 Støysoner til arealplanlegging

T-1442/2016 definerer to støysoner, gul og rød sone, til bruk i arealplanlegging. I tillegg benyttes betegnelsen *hvit sone* om området utenfor støysonene. Kommunene anbefales også å etablere *grønne soner* på sine kart for å markere *stille områder som etter kommunens vurdering er viktige for natur- og friluftsinnteresser*. Hvit og grønn sone skal med andre ord ikke betraktes som støysoner.

3.2.1 Definisjon av støysoner

Støysonene ble definert slik at det i ytterkant av gul sone kan forventes at inntil 10 % av en gjennomsnitts befolkning vil føle seg svært plaget av støyen. Det betyr at det vil være folk som er plaget av støy også utenfor støysonene.

De to støysonene er i retningslinjen definert som vist i tabell 3.1. Det fremgår at hver sone defineres med to kriterier. Hvis ett av kriteriene er oppfylt på et sted, så faller stedet innenfor den aktuelle sonen – det er med andre ord et "eller" mellom kolonnene.

Tabell 3-1. Kriterier for soneinndeling. Ytre grense i dB, frittfeltsverdier.

Støykilde	Støysone			
	Gul sone		Rød sone	
	Utendørs støynivå	Utendørs støynivå i nattperioden kl. 23 – 07	Utendørs støynivå	Utendørs støynivå i nattperioden kl. 23 – 07
Flyplass	L _{den} 52 dB	L _{5AS} 80 dB	L _{den} 62 dB	L _{5AS} 90 dB

3.2.2 Utarbeidelse av støysonekart og implementering i kommunale planer

Ansvar for utarbeidelse av kart som viser støysonene legges til tiltakshaver ved nye anlegg, mens anleggseier eller driver har ansvar for eksisterende anlegg. De ansvarlige oversender kartene til kommunen og har også et ansvar for å oppdatere kartene dersom det skjer vesentlige endringer i støysituasjonen. Normalt skal kartene vurderes hvert 4.–5. år.

Det skal utarbeides støysonekart for dagens situasjon og aktivitetsnivå og en prognose 10–20 år fram i tid. Kartet som oversendes kommunen skal settes sammen som en verste situasjon av de to beregningsalternativene.

Kommunene skal inkludere og synliggjøre støysonekartene i sine arealplaner. Retningslinjen har flere forslag til hvordan dette kan gjøres. For varige støykilder er det foreslått å legge sonene inn på selve kommuneplankartet som støybetinget restriksjonsområde. Det anbefales at kommunene tar inn bestemmelser tilknyttet arealutnyttelse innenfor støysonene og at det skal stilles krav til reguleringsplan for all utbygging av støyømfintlig bebyggelse innenfor rød og gul sone.

Følgende regler for arealutnyttelse er angitt i retningslinjen:

- **rød sone**, nærmest støykilden, angir et område som ikke er egnet til støyfølsomme bruksformål, og etablering av ny støyfølsom bebyggelse skal unngås.
- **gul sone** er en vurderingssone, hvor støyfølsom bebyggelse kan oppføres dersom avbøtende tiltak gir tilfredsstillende støyforhold.

3.2.3 Kartlegging av stille områder

Kartlegging av stille områder er omtalt i et eget kapittel i retningslinjen. Kommunene anbefales å synliggjøre avgrensede områder som er viktige for rekreasjonsaktivitet i sine arealplaner som grønne soner. I tettbebyggelse defineres stille områder som eksempelvis parker, kirkegårder, skog som har et støynivå som er under L_{den} på 50 dBA. Utenfor tettbebygde strøk settes nivågrensen til 40 dBA.

3.3 Beregningsmetode

Vurdering av flystøy etter Miljøverndepartementets retningslinjer gjøres kun mot støysonegrenser som er beregnet, dvs. at man ikke benytter målinger lokalt for å fastsette hvor grensene skal gå. Den beregningsmodellen som benyttes i Norge (se avsnitt 3.3.2), er imidlertid basert på en database som representerer en sammenfatning av et omfattende antall målinger. Skulle beregningene vært erstattet med målinger, så måtte det gjøres meget lange måleserier for å oppnå samme presisjonsnivå som det beregningsprogrammet gir.

Målinger kan nyttes som korrigerende supplement ved kompliserte utbredelsesforhold, ved spesielle flygeprosedyrer, eller når beregningsprogrammet eller dets database er utilstrekkelig.

3.3.1 Dimensjonering av trafikkgrunnlaget

Veilederen til T-1442/2016 legger seg opp til reglene fra EU direktiv 2002/49/EC [6] om at det skal benyttes et årsmiddel av trafikken. Det betyr at støysoner skal representere et middeldøgn for hele året. Dersom trafikken er sterkt sesongpreget (turisttrafikk) brukes gjennomsnitt av de tre måneder som har mest trafikk.

Militære øvelser som forekommer minst annethvert år, skal inngå i trafikkgrunnlaget.

3.3.2 Beregningsprogrammet NORTIM

Fra 1995 beregnes flystøy i Norge med det norskutviklede dataprogrammet NORTIM [7, 8] eller spesialutgaver av dette (REGTIM og RADTIM). Programmene er utviklet av SINTEF for de norske luftfartsmyndighetene. Det unike med NORTIM er at det tar hensyn til topografiens påvirkning av lydutbredelse, samt lydutbredelse over akustisk reflekterende flater.

NORTIM beregner i en og samme operasjon de aktuelle måleenheter som er foreskrevet i retningslinjen L_{den} og MFN_{23-07} (som erstatning for L_{5AS}). Andre støymål som beregnes er blant annet ekvivalentnivået, L_{Aeq} , for hvert døgnsegment i det dimensjonerende middeldøgn. Beregningsresultatene fremkommer i tabellariske oversikter og/eller som støykurver (sonegrenser) som kan tegnes i ønsket målestokk. Alle resultatene leveres på SOSI filformat.

NORTIM programmene ble i 2002 endret ved at nye algoritmer for beregning av bakkedemping og direktivitet [9] ble tatt i bruk. Årsaken var at flyparken har andre karakteristika enn den som ble benyttet da de grunnleggende rutiner ble utviklet sent på 1970-tallet. De gamle rutiner var utelukkende empirisk utviklet, mens de nye er en blanding av empiri og teori. Bakkedemping er basert på en teoretisk modell [10], mens direktivitet er basert på måleserier på Gardermoen i 2001 [11] og således empiriske. Etter endringene viser sammenligninger av lang tids målinger og beregninger for tilsvarende trafikk et avvik på i gjennomsnitt under 0.5 dB [9].

Beregningsprogrammet inneholder en database for over 300 ulike flytyper. Databasen er importert fra internasjonalt tilgjengelige kilder, i hovedsak fra USA, AEDT [12] og NOISEMAP [13] og med korrigerede støydata for to flyfamilier [9]. I tillegg benyttes data fra målinger foretatt av OSL for de to mest benyttede offshore helikoptre [14] og data fra fabrikken for det nye redningshelikopteret [15].

Ved bruk av en liste over substitutter for flytyper som ikke inngår i databasen, kan det beregnes støy fra omlag 650 forskjellige typer fly. I tillegg er det mulig å legge inn brukerdefinerte data for fly- og helikoptertyper som ikke er definert i databasen. I slike situasjoner hentes data fra andre anerkjente kilder eller egne målinger.

4 KARTLEGGING I HENHOLD TIL FORSKRIFT TIL FORURENSNINGSLOVEN

Forskrift om grenseverdier for lokal luftforurensning og støy ble første gang gitt ved kongelig resolusjon 30. mai 1997, med virkning fra 1. juli samme år. Forskriften er hjemlet i forurensningsloven og omtales som forurensningsforskriften. Den ble revidert sist gang i 2004 [16].

4.1 Innendørs støy

Forurensningsforskriften fastsetter grenseverdier som skal utløse kartlegging og utredning av tiltak mot støy. Kartleggingsgrensen er satt til døgnekvivalent nivå ($L_{Aeq,24h}$) på 35 dBA innendørs når bare en støytpe dominerer. Dersom flere likeverdige kilder er til stede, senkes kartleggingsgrensen for hver støykilde med 3 dB til 32 dBA.

4.1.1 Beregning med normtall for fasadedempning

Flystøy beregnes primært for utendørs nivå. Det må derfor gjøres forutsetninger om hvor stor støyisolasjon (demping) husets fasader medfører for å kunne gjøre resultatene om til innendørsnivå. Fasadeisolasjon varierer med frekvensinnhold i støyen. Lave frekvenser (basslyder) går lettere gjennom, mens høye frekvenser (diskant) dempes bedre. Ettersom frekvensinnhold er forskjellig fra flytype til flytype, vil støy fra disse ha ulik støydemping gjennom en fasade. Basert på Norges Byggforskningsinstituttets utredning om fasadeisolasjon [17], som er revidert av Brekke og Strand [18], er det valgt tre forskjellige normtall for fasadeisolasjon avhengig av hvilke flytyper som er støymessig dominant på hver flyplass. Grenseverdi for kartlegging baseres på hustyper ført opp i 1970 eller senere. Tabell 4-1 viser grenseverdiene for beregnet utendørs døgnekvivalent nivå ($L_{Aeq,24h}$):

Tabell 4-1. Kartleggingsgrenser i henhold til forurensningsloven.

Flyplasstype	Støymessig dominerende flytype	Minimum fasadeisolasjon i vanlig bebyggelse	Kartleggingsgrense relativt til frittfeltsnivå
Regionale flyplasser	Propellfly	19 dBA	54 dBA (35+19)
Stamruteplasser / militære flyplasser	Jagerfly	25 dBA	60 dBA (35+25)
Stamruteplasser	Støysvake jetfly	27 dBA	62 dBA (35+27)

Beregninger foretatt for offshore helikopter i den reviderte rapporten [18] viser tilsvarende fasadeisolasjon på minimum 23 dBA for bygningstyper oppført etter 1970. Målinger utført på bygninger rundt de to største offshorebasene har således vist eksempler på at fasadeisolasjon mot denne typen trafikk kan ligge i størrelsesorden 26 dBA [19].

Tiltak på bygninger skal gjøres dersom innendørs støynivå overstiger 42 dBA døgnekvivalent nivå. En tentativ tiltaksgrense vil derfor ligge 7 dB over den kartleggingsgrense som for hvert tilfelle framkommer av tabellen over.

4.1.2 Beregning med frekvensspekter

I enkelte tilfeller med blandet trafikk med ulikt frekvensinnhold kan metoden beskrevet i forrige avsnitt være noe upresis. Det er derfor utviklet en forbedret metode hvor det beregnes et anslag av *innendørs støynivå*, som kan sammenholdes direkte med kartleggingsgrensene og den tentative tiltaksgrensen. Metoden tar hensyn til frekvensinnholdet i hver enkelt flygning. Effektene av kunstige og naturlige skjærmer beregnes for hver enkelt frekvens. Ved beregning av innendørs nivå benyttes to ulike reduksjonsspekter for fasaden, for Hustype II og IV i ref. [18]. Førstnevnte representerer hus bygget rundt 1970-1980 med isolert tak og kaldt loft, og benyttes i de aller fleste tilfeller. Hustype IV representerer boligblokker, og benyttes for bygningstyper hvor vegger typisk er murt eller støpt. På grunn av disse forenklingene vil det beregnede

innendørsnivået *ikke* kunne erstatte en faglig utredning som tar hensyn til den aktuelle bygningskonstruksjonen i hvert enkelt tilfelle.

4.2 Strategisk støykartlegging

Strategisk støykartlegging gjennomføres for å tilfredsstille EU direktiv 2002/49/EC REF, befolkningens behov for informasjon og som grunnlag for handlingsplaner. Forskriften gir i vedlegg minstekrav til hva som skal beregnes og rapporteres. Denne del av kartleggingen gjelder for utendørs nivå og det er krav til flere støykart, samt opptelling av antall boliger og andre bygninger med støyømfintlig bruksområde innenfor intervaller av støynivå for både L_{den} og L_{night} .

Strategisk støykartlegging skal utføres på flyplasser med mer enn 50 000 sivile bevegelser per år. I dette tallet inngår ikke militær trafikk eller skoleflyging, men denne trafikken skal likevel regnes med når kartleggingen foretas.

5 OMGIVELSER

5.1 Digitalt kartgrunnlag og topografi

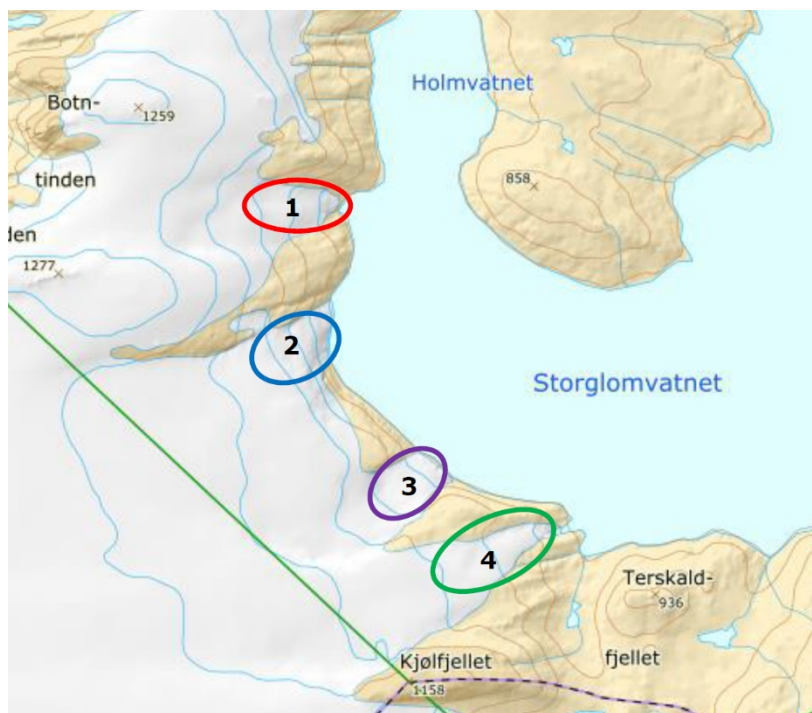
Beregningsprogrammet NORTIM kan ta hensyn til topografi ved beregning av støykart. For denne beregningen er topografi hentet fra Kartverket sine gratis tjenester i form av en DEM modell. Topografien er representert med en punkttetthet på 10×10 meter.

NORTIM kan også ta hensyn til den lydskjermende effekten til voller, bygninger o.l. For denne beregningen er det ikke tatt hensyn til slik skjerming av lyd.

Bakgrunnskart for presentasjon av flygetraséer, resultater, o.l. er et N50 vektorkartverk hentet fra Kartverket sin web-tjeneste. I denne rapporten presenteres alle kart i kartsystemet UTM Euref89 sone 33.



Figur 5-1. Områdekart. M 1:100 000



Figur 5-2. Rapporten omfatter fire alternative steder for uttak av is



Figur 5-3. Isen transporteres med helikopter til parkeringsplass nedenfor Holmvassdammen, der den omlastes til bil

6 TRAFIKKSAMMENSETNING

Helikoptertransporten er planlagt å skje med helikoptertype AS 350. Trafikkmengden er estimert ut fra mengden is som planlegges tatt ut, og dette helikopterets løftekapasitet. Støyberegningene er gjort for to scenarier.

A. Planlagt uttak av is i 2018

85 tonn i løpet av 10 uker

119 helikopterturer:

- Løft av is 85 turer (ett tonn per tur)
- Løft av personell 8 turer (ut på mandager og hjem på fredager, for 4 aktive uker)
- Løft av utstyr 8 turer (4 ved oppstart og 4 ved avslutning)
- Flyging fra base 18 turer (1 for hver dag med løft-oppdrag)

B. Maksimalt uttak i et fremtidig scenario

3 600 m³ (tilsvarende 3312 tonn) i løpet av 17 uker

3 459 helikopterturer

- Løft av is 3 312 turer (ett tonn per tur)
- Løft av personell 40 turer (ut på mandag, hjem på fredag, to team, 10 aktive uker)
- Løft av utstyr 20 turer (10 ved oppstart og 10 ved avslutning)
- Flyging fra base 87 turer (1-2 for hver dag med løft-oppdrag)

For scenario B er det gjort fire separate beregninger av støy for fire alternative steder for uttak av is, ref. figur 5-2. Is vil først bli tatt ut fra uttak 1. Når dette er tømt vil aktiviteten flyttes til uttak 2, osv. Det blir derfor aldri aktuelt å bruke mer enn ett uttak om gangen. Det forventes at kun ett uttak er i bruk i løpet av en sesong. De fire separate beregningene gir dermed selvstendige støykart for alternative situasjoner som kan ventes å oppstå over en lengre tidshorisont.

Den planlagte aktiviteten er klart sesongbetont. Vi legger derfor til grunn at den dimensjonerende tidsperioden skal være en tremåneders sammenhengende periode med høyt aktivitetsnivå. For scenario A skjer all aktivitet innenfor en slik periode. For scenario B skjer 76,5% av trafikken innenfor en sammenhengende tremåneders periode. Den dimensjonerende mengden for dette scenariet blir derfor 2 646 turer.

Vi antar at trafikken er fordelt over døgnet med 95 % på dagtid (fra kl. 0700 til kl. 1900), og 5 % på kveldstid (fra kl. 1900 til kl. 2300). Det er ikke lagt inn noe trafikk om natten.

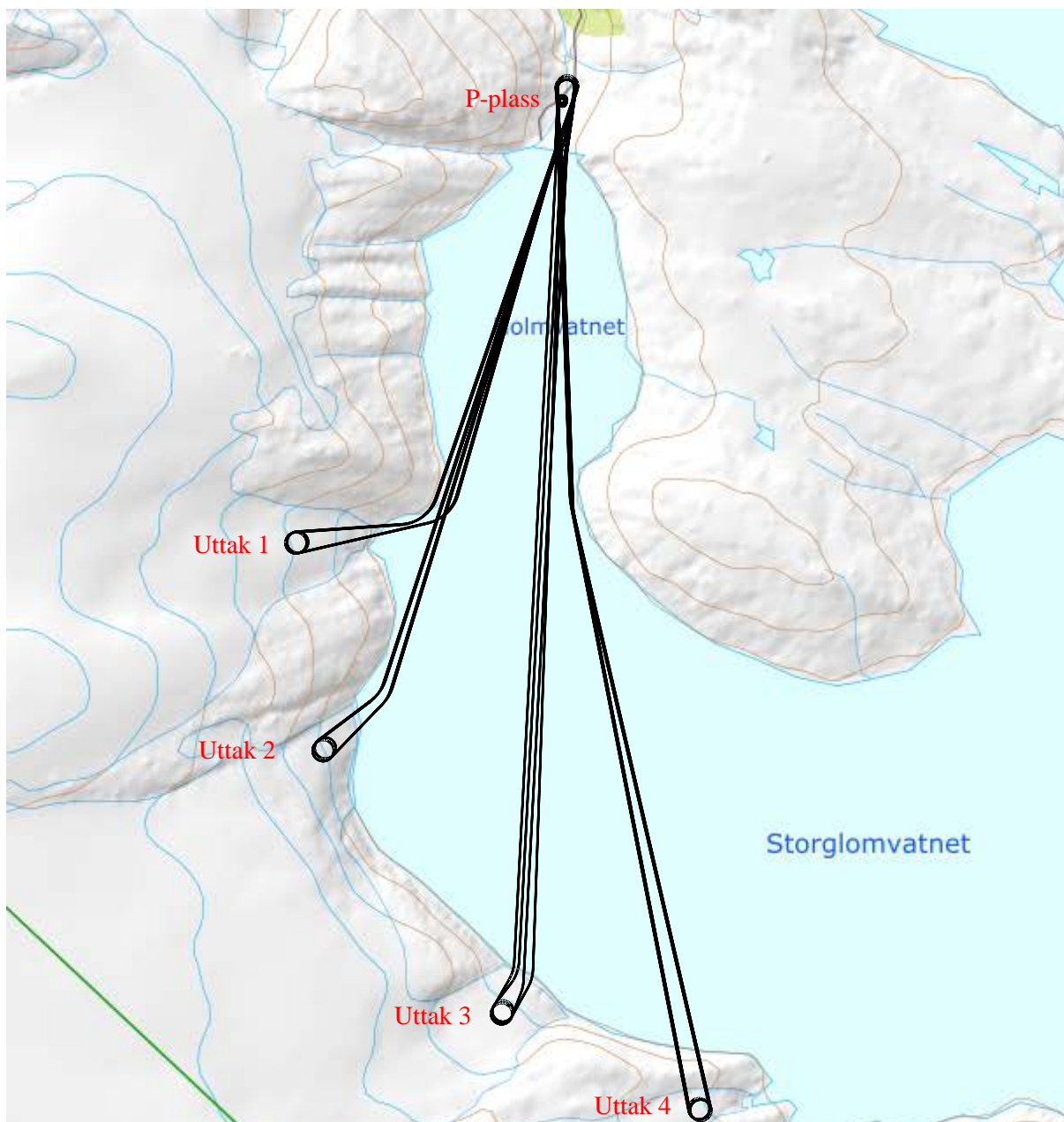
For turene med løft av is, personell og utstyr er det lagt til grunn tilpassede flygeprofiler. Det vesentligste av flyturen skjer i en høyde 150 meter (500 fot) over Holmvatnet. Klatring og nedstigning til og fra denne høyden skjer med de rater og motorsettinger som er vanlig for denne flytypen. Typisk hastighet er satt til 80 knop når helikopteret er lastet, og 100 knop uten last. Det er antatt at hengende last ligger 50 meter under helikopteret, og at helikopteret dermed holder en høyde på 50 meter over lokalt terreng under lasting og lossing av is og utstyr. Det er lagt til grunn at lasting og lossing har en varighet på 30 sekunder, inklusive tid til lokal manøvrering.

For turene til og fra helikopterbasen er det antatt standard inn- og utflygingsprofiler.

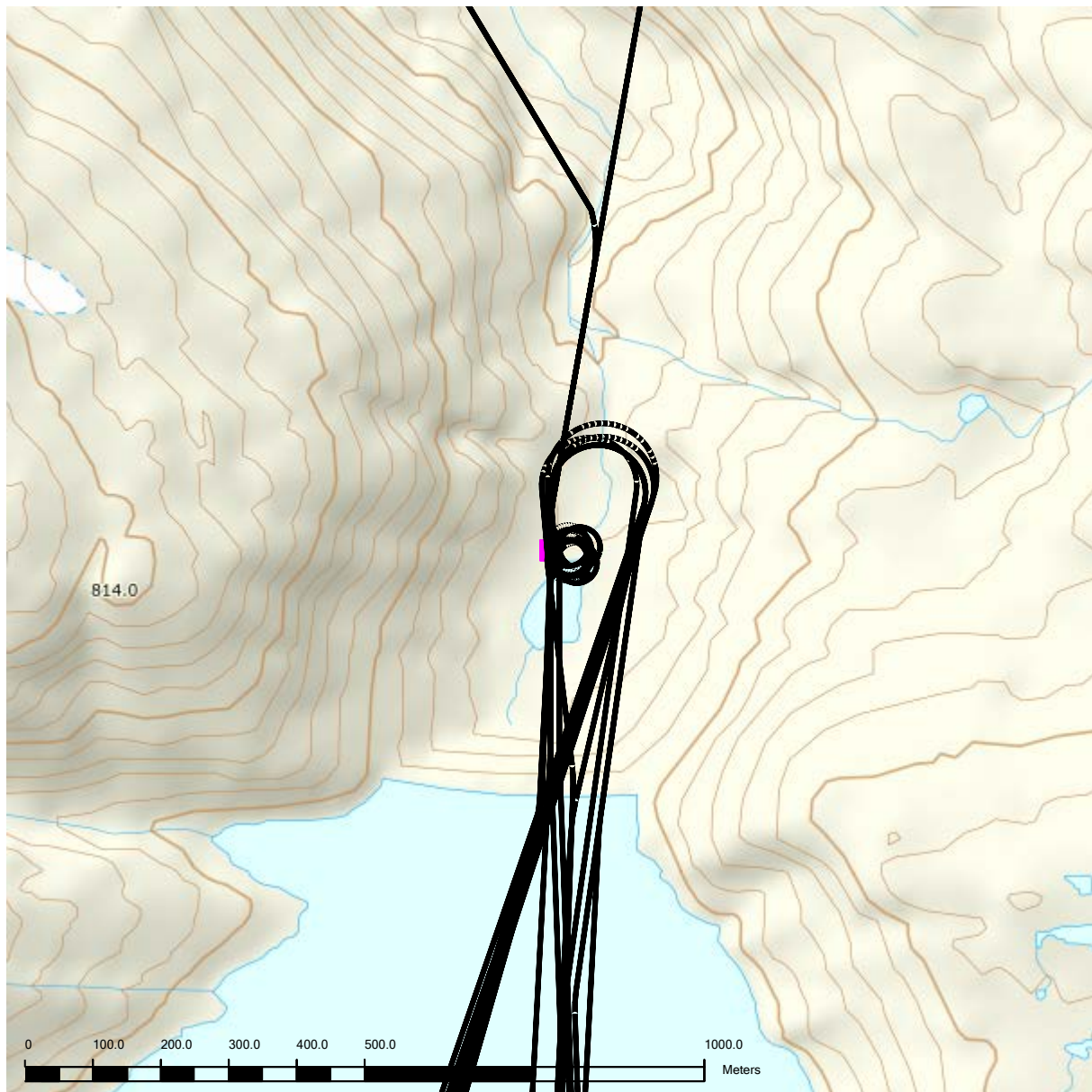
7 TRAFIKKMØNSTER

Basert på opplysninger fra oppdragsgiver er flygemønsteret lagt inn i beregningsmodellen slik det er vist i Figur 7-1. De fire uttakene vises i søndre del av kartet. All trafikk til og fra uttakene går mot parkeringsplassen like nedenfor Holmvassdammen, sentralt i kartet. Her fordeles den likt mellom to ruter for lokal sirkling / manøvrering, som vist i figur 7-2. Trafikk til og fra helikopterbasen er fordelt på to traséer mot nord.

I scenario A brukes uttak 1. De fire alternativene for scenario B bruker hhv. uttak 1 - 4.



Figur 7-1. Traséer for helikoptertrafikken. M 1:50 000.



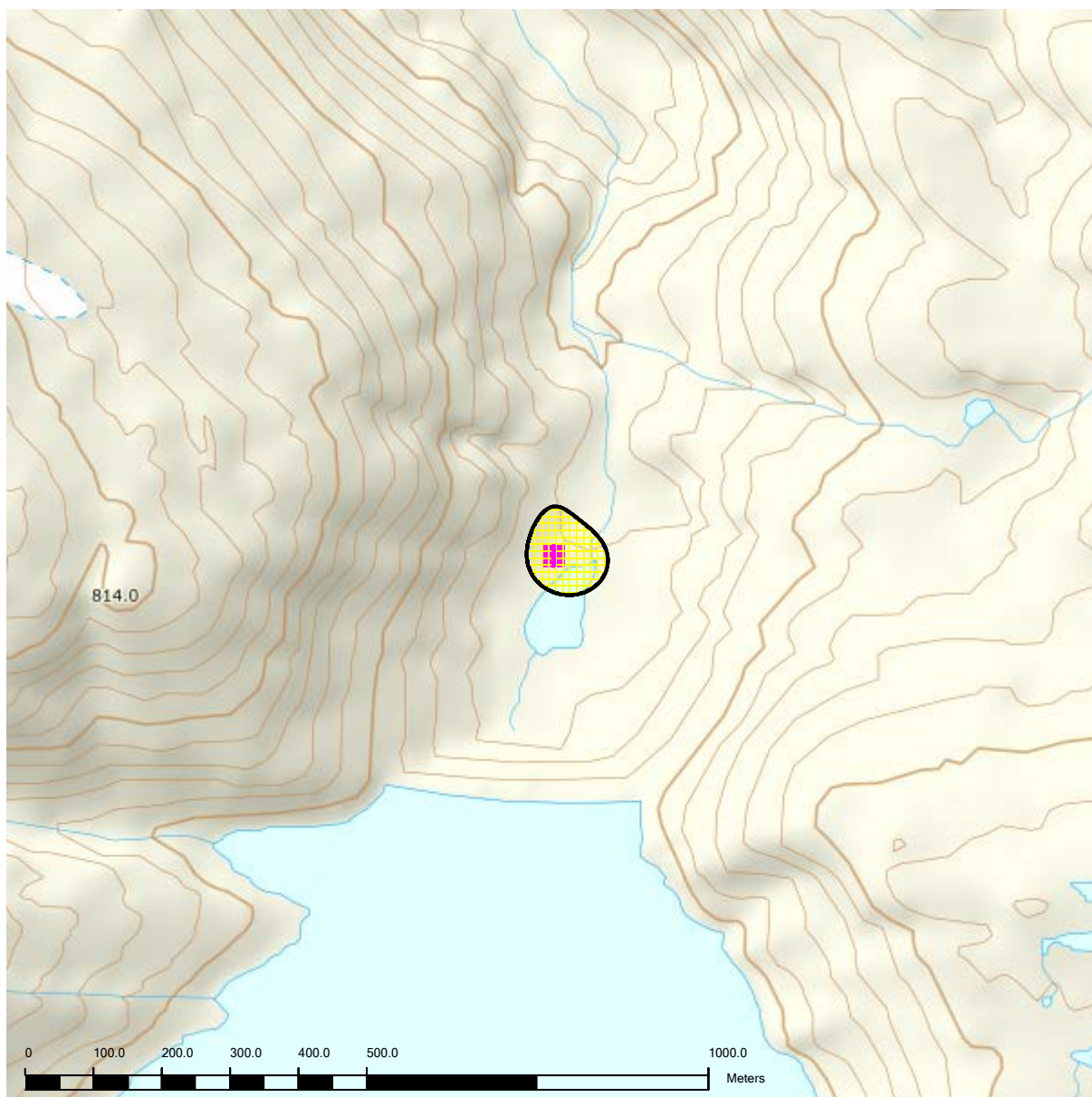
Figur 7-2. Lokalt flygemønster ved parkeringsplassen like nedenfor Holmvassdammen. M 1:10 000.

8 BEREGNING OG RESULTATER

Beregninger med NORTIM gjøres i et rutenett rundt landingsplassen med punkttetthet på 64 x 64 fot (ca. 19,5 x 19,5 meter). Beregningshøyde er 4 meter over bakken. Beregningsområdet strekker seg ut over de områder som har ekvivalentnivå høyere enn 50 dBA. Innenfor beregningsområdet gjøres det normalt punktberegninger for alle støyømfintlige bygninger. Det er ingen slike bygninger i det aktuelle området.

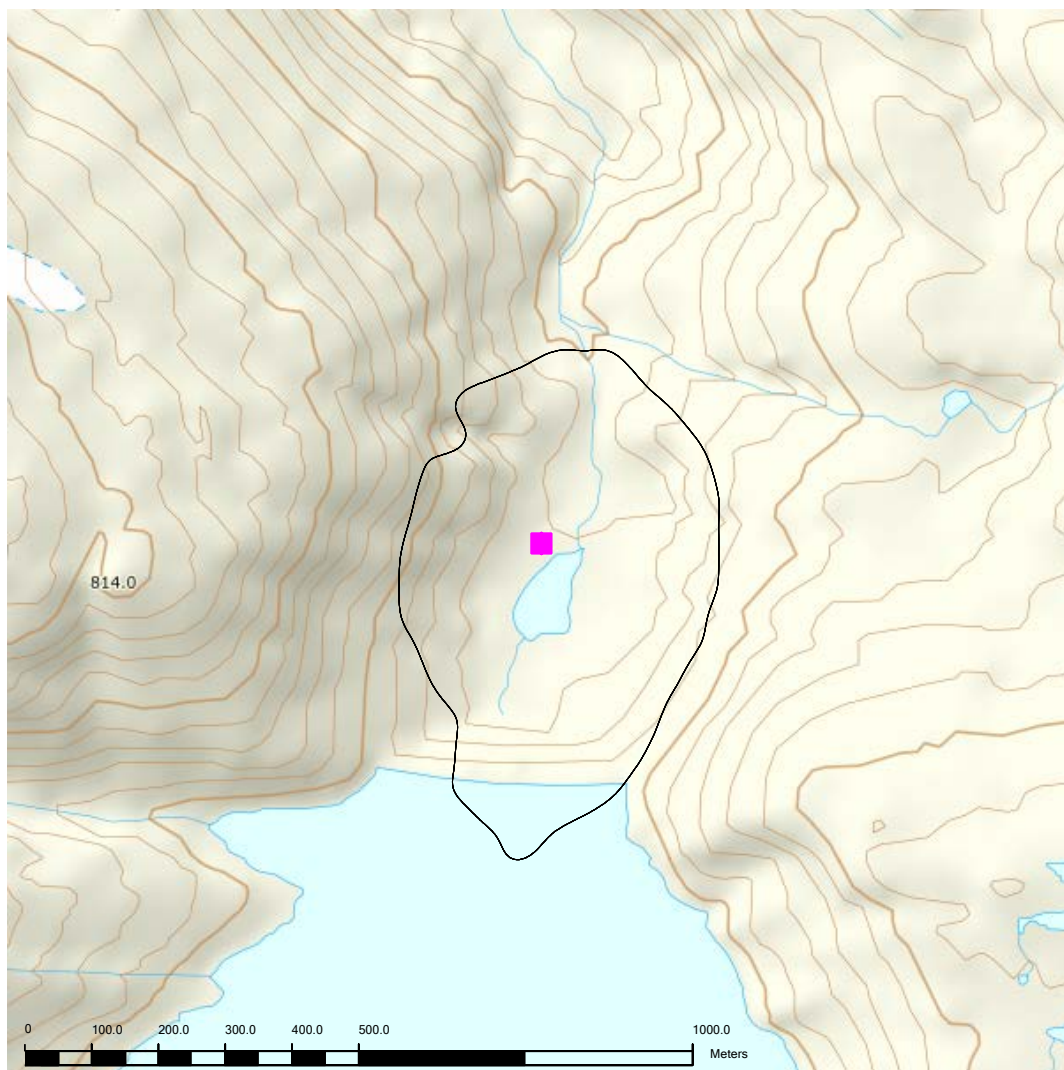
8.1 Støysoner for Scenario A, etter retningslinje T-1442/2016

Resultatene fra støyberegningene for planlagt uttak av is i 2018, er vist i Figur 8-1. Det er ingen rød støysoner. Den gule støysonen er begrenset til et lite område omkring parkeringsplassen nedenfor Holmvassdammen. I dette scenariet blir det ingen støysoner over Holmvatnet eller ved uttaket (uttak 1).



Figur 8-1. Støysonkart etter T-1442/2016. Scenario A. M 1:10 000.

Det er ingen bebyggelse i området som utløser behov for å vurdere innendørs støynivå. Området er imidlertid aktuelt for tur- og friluftsliv. Der kan derfor være relevant å belyse helikoptertrafikkens betydning for eventuell vurdering av stille områder, i henhold til retningslinjen. Figur 8-2 viser derfor støykonturer for L_{den} 40 dB. Det er anbefalt støygrenser utenfor tettbygde områder, som kommunen kan velge å kartlegge for ulike typer friområder, friluftsliv- og rekreasjonsområder og stille områder.

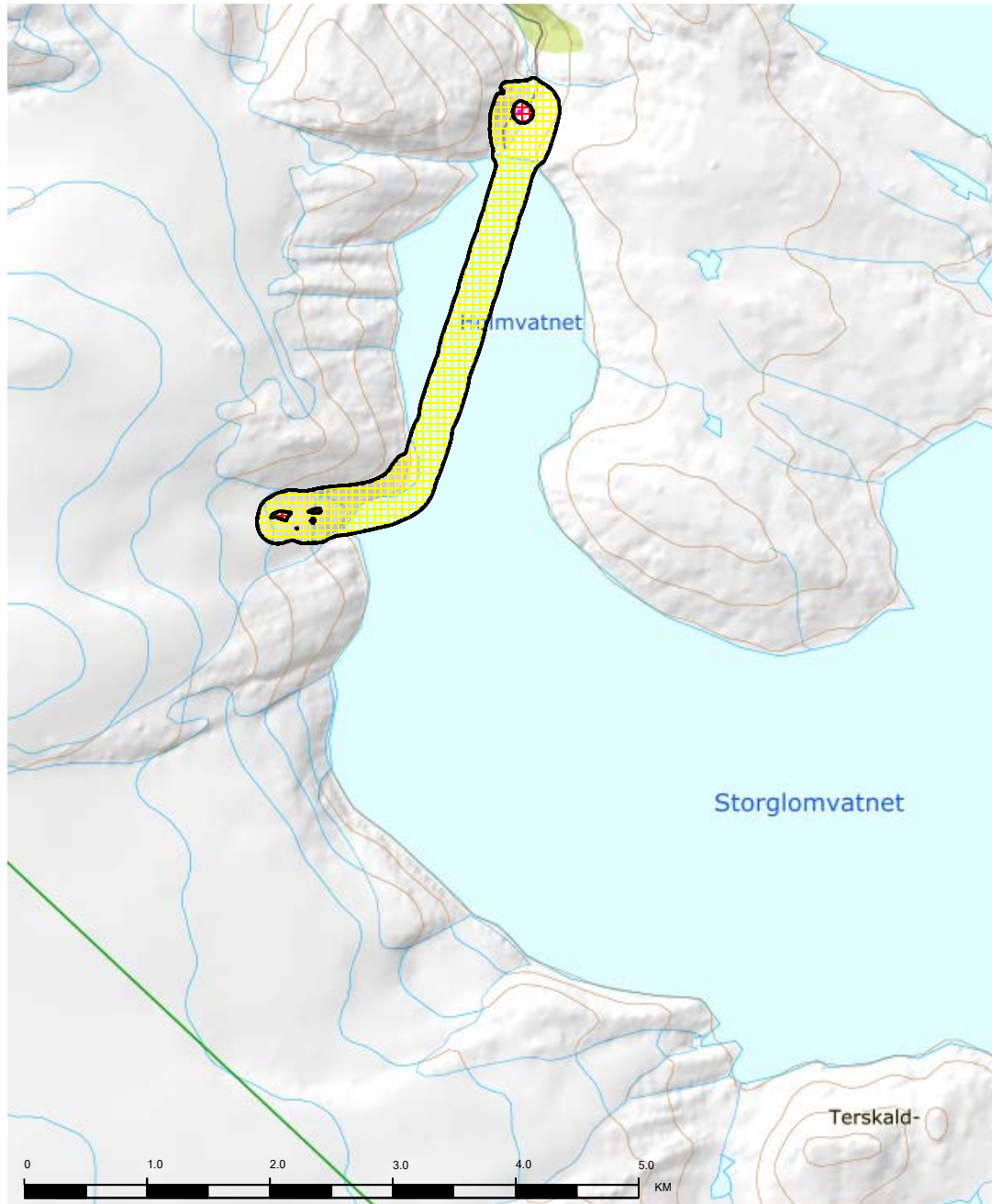


Figur 8-2. L_{den} 40 dB, etter T-1442/2016. Scenario A. M 1:10 000.

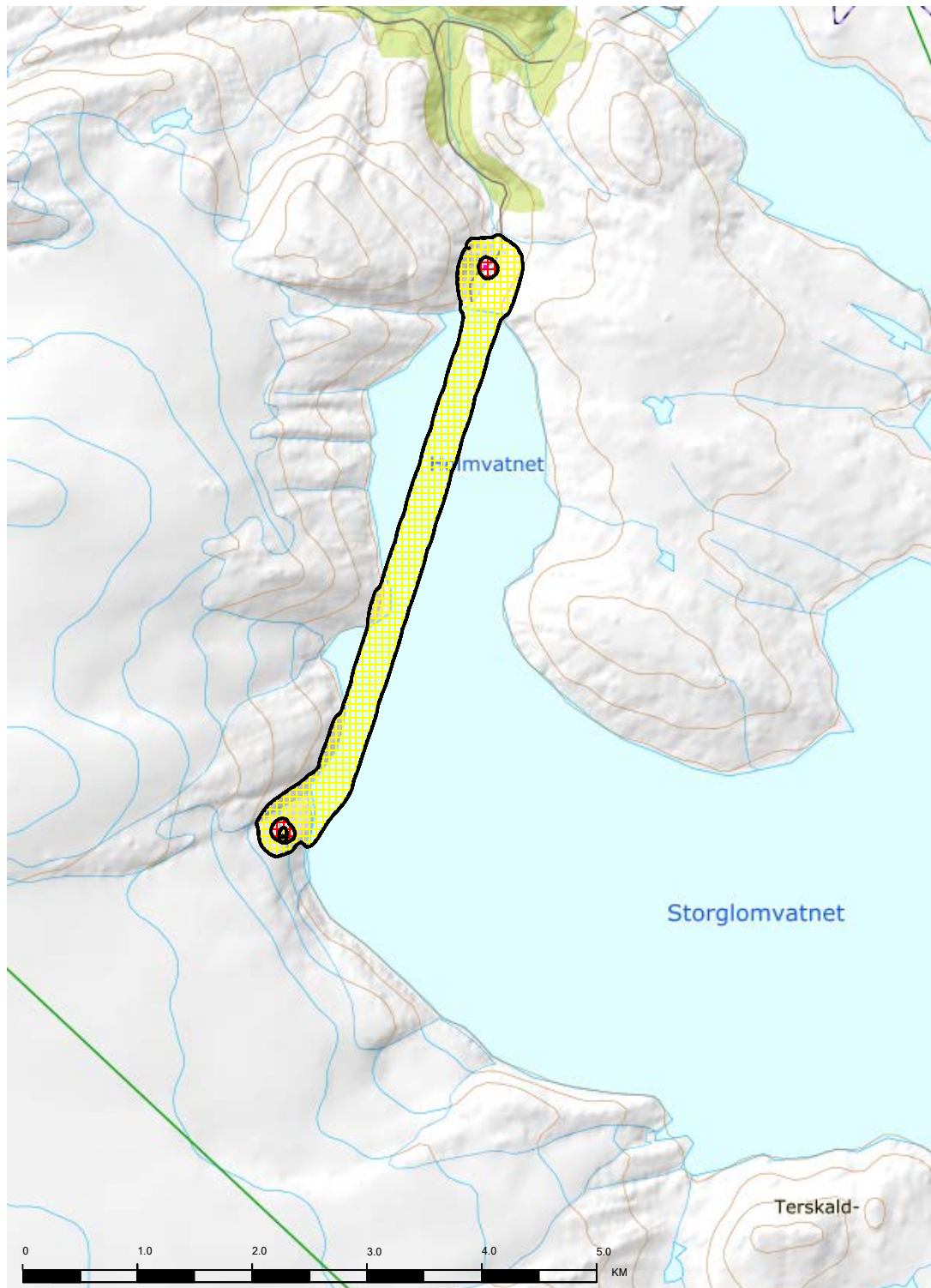
Ut over den viste kurven som T-1442/2016 definerer som grensen for et "stille" område er det å bemerke at helikopterstøyen vil være hørbar over et langt større område og vil kunne oppleves forstyrrende for f.eks. turgåere.

8.2 Støysoner for Scenario B, etter retningslinje T-1442/2016

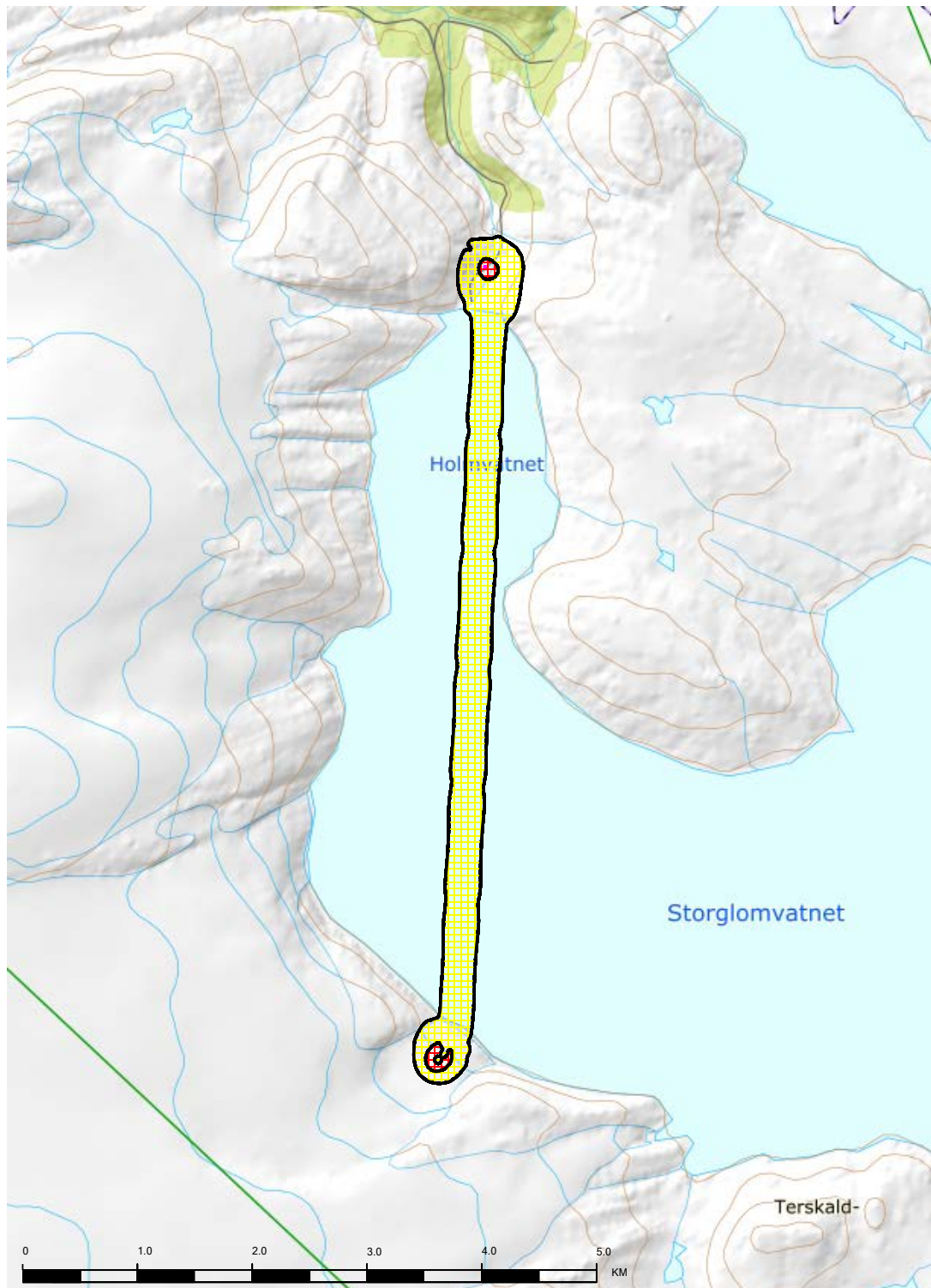
Resultatene fra støyberegningene for maksimal aktivitet, er vist i Figurene 8-3 til 8-6. Det er en figur for hver av de fire uttakene.



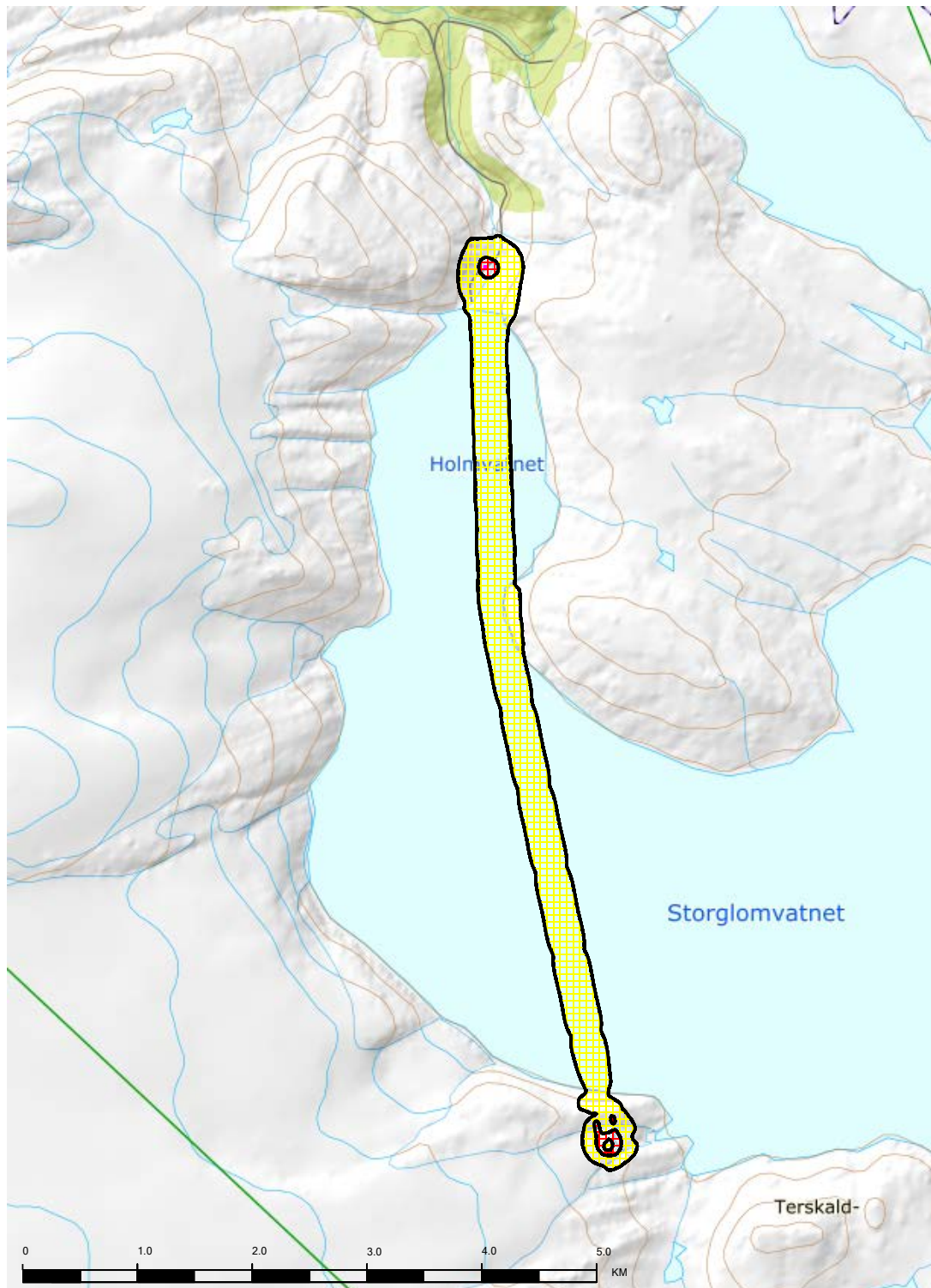
Figur 8-3. Støysonekart etter T-1442/2016. Scenario B – Uttak 1. M 1:50 000.



Figur 8-4. Støysonekart etter T-1442/2016. Scenario B – Uttak 2. M 1:50 000.



Figur 8-5. Støysonekart etter T-1442/2016. Scenario B – Uttak 3. M 1:50 000.

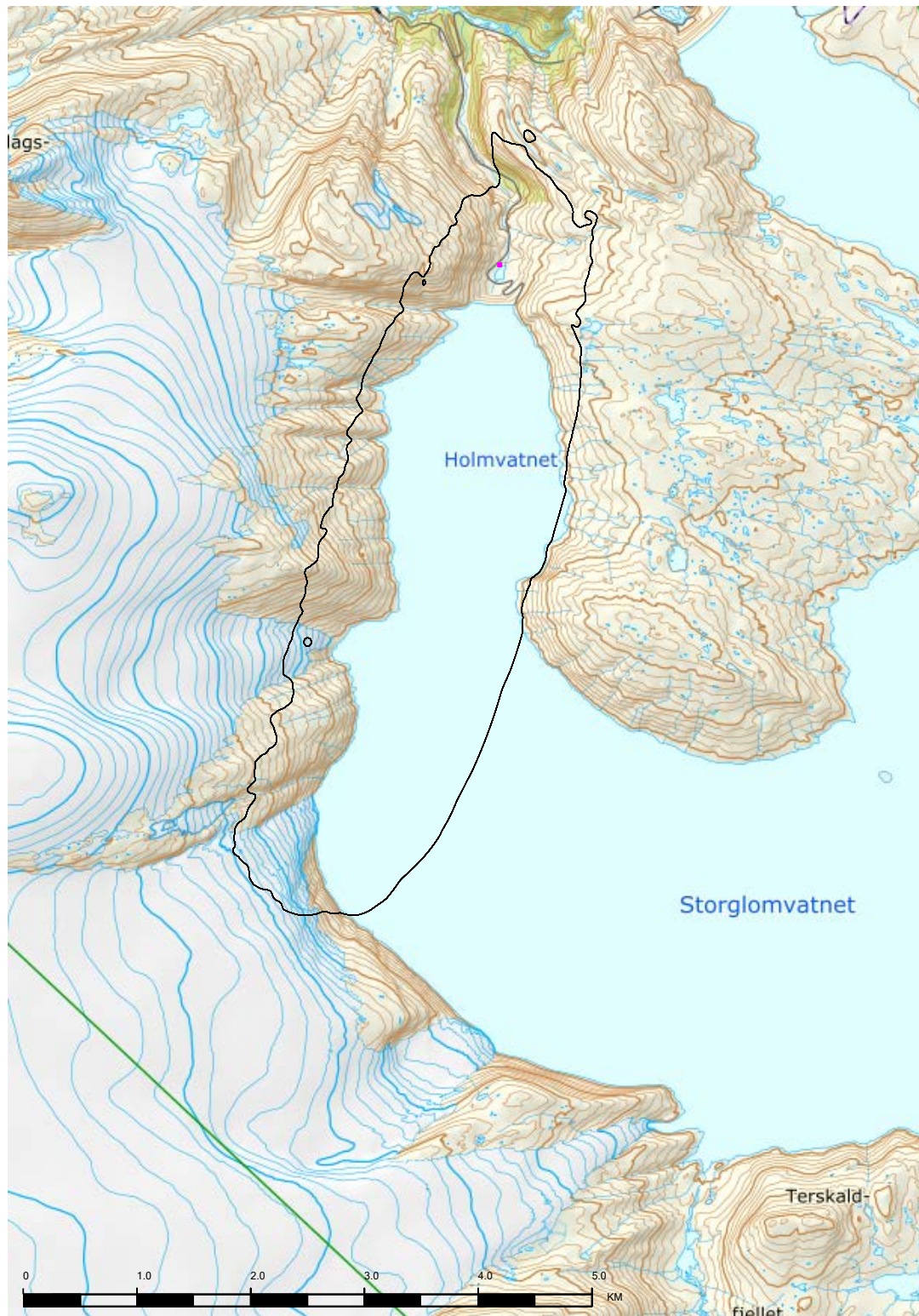


Figur 8-6. Støysonekart etter T-1442/2016. Scenario B – Uttak 4. M 1:50 000.

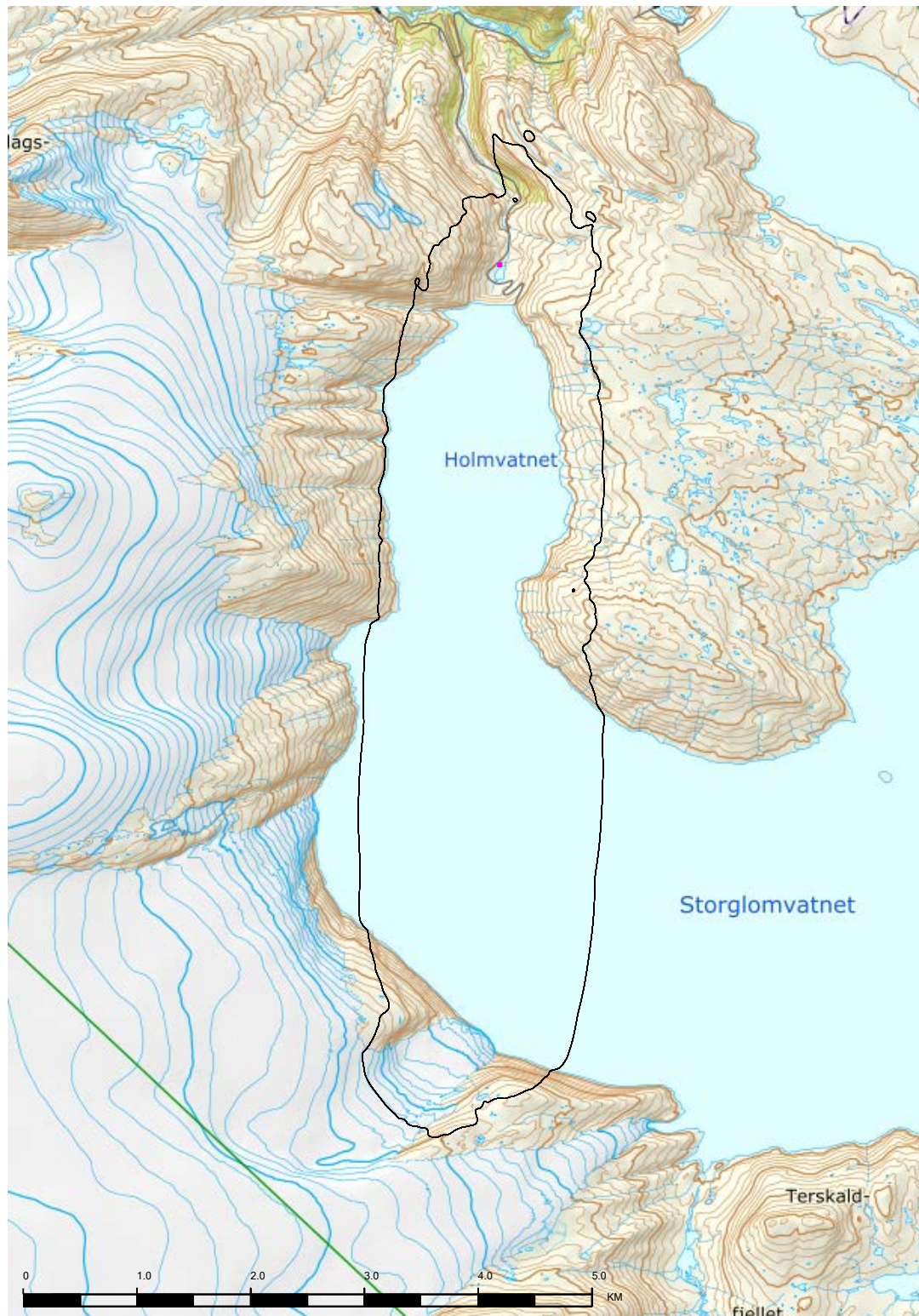
Det er ingen bebyggelse i området som utløser behov for å vurdere innendørs støynivå. Området er imidlertid aktuelt for tur- og friluftsliv. Der kan derfor være relevant å belyse helikoptertrafikkens betydning for eventuell vurdering av stille områder, i henhold til retningslinjen. Figurene 8-7 til 8-10 viser derfor støykonturer for L_{den} 40 dB og L_{den} 50 dB. De er anbefalte støygrenser hhv. innenfor eller utenfor tettbygd område, som kommunen kan velge å kartlegge for ulike typer friområder, friluftsliv- og rekreasjonsområder og stille områder.



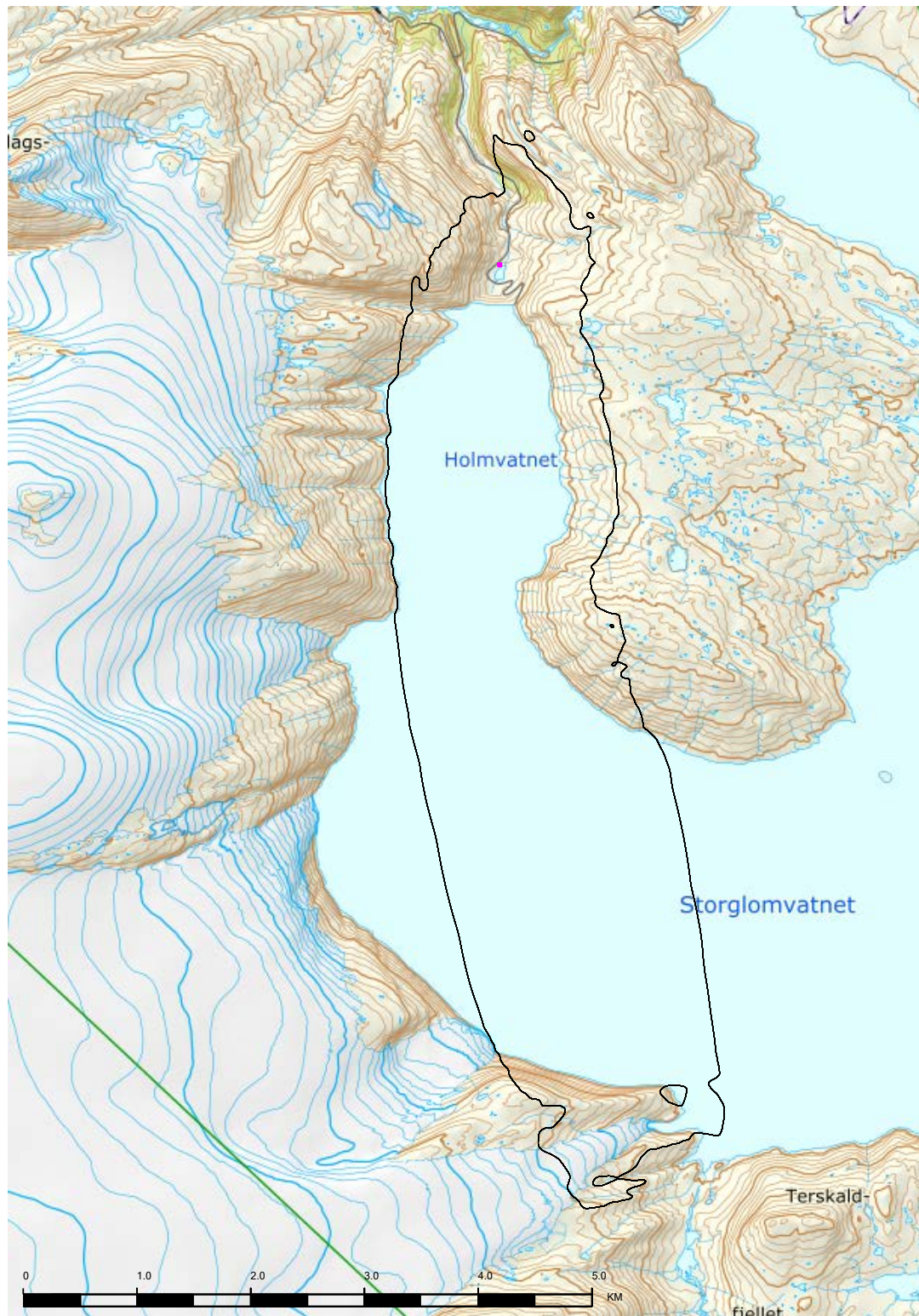
Figur 8-7. L_{den} 40 dB, etter T-1442/2016. Scenario B – Uttak 1. M 1:50 000.



Figur 8-8. L_{den} 40 dB, etter T-1442/2016. Scenario B – Uttak 2. M 1:50 000.



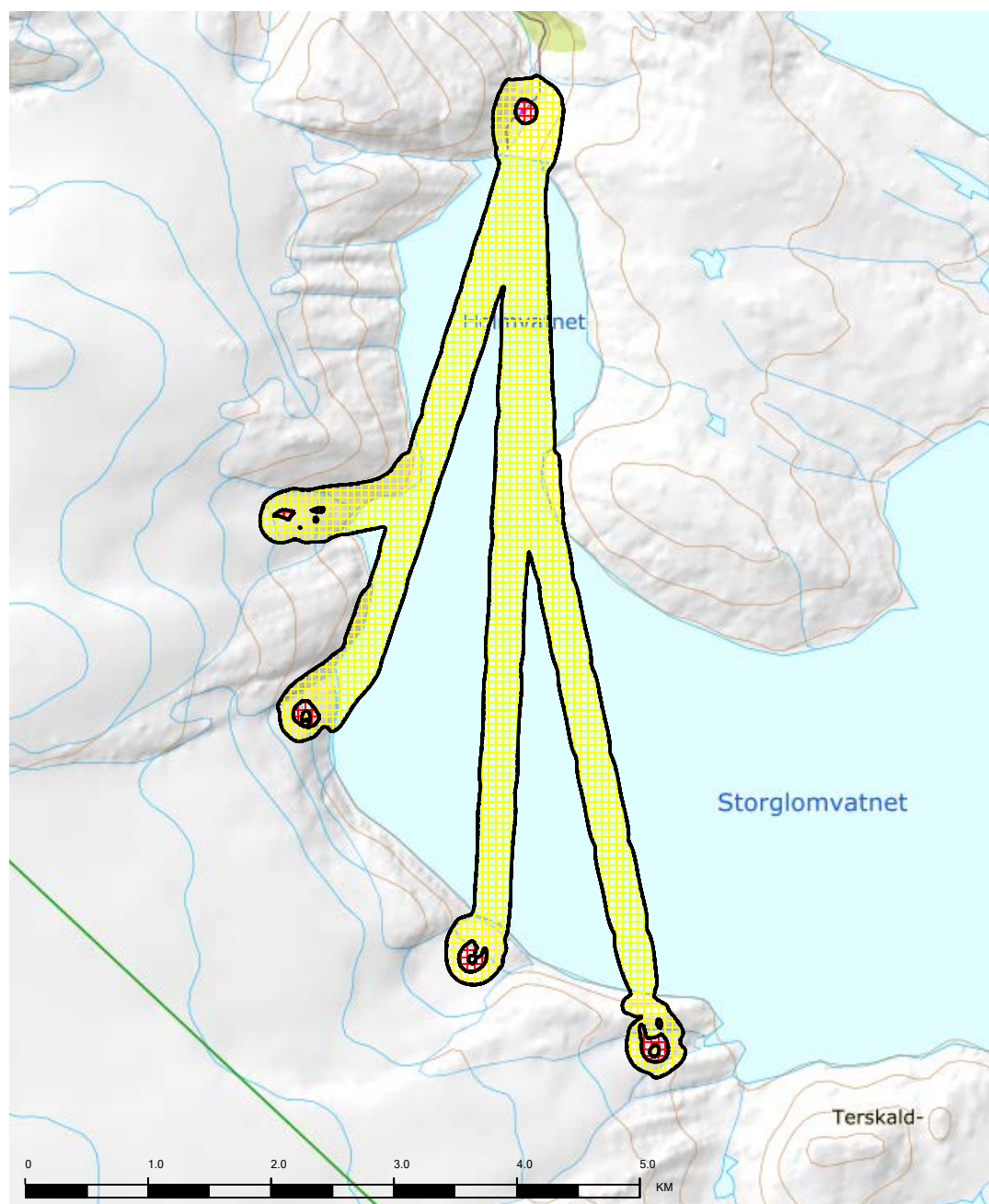
Figur 8-9. L_{den} 40 dB, etter T-1442/2016. Scenario B – Uttak 3. M 1:50 000.



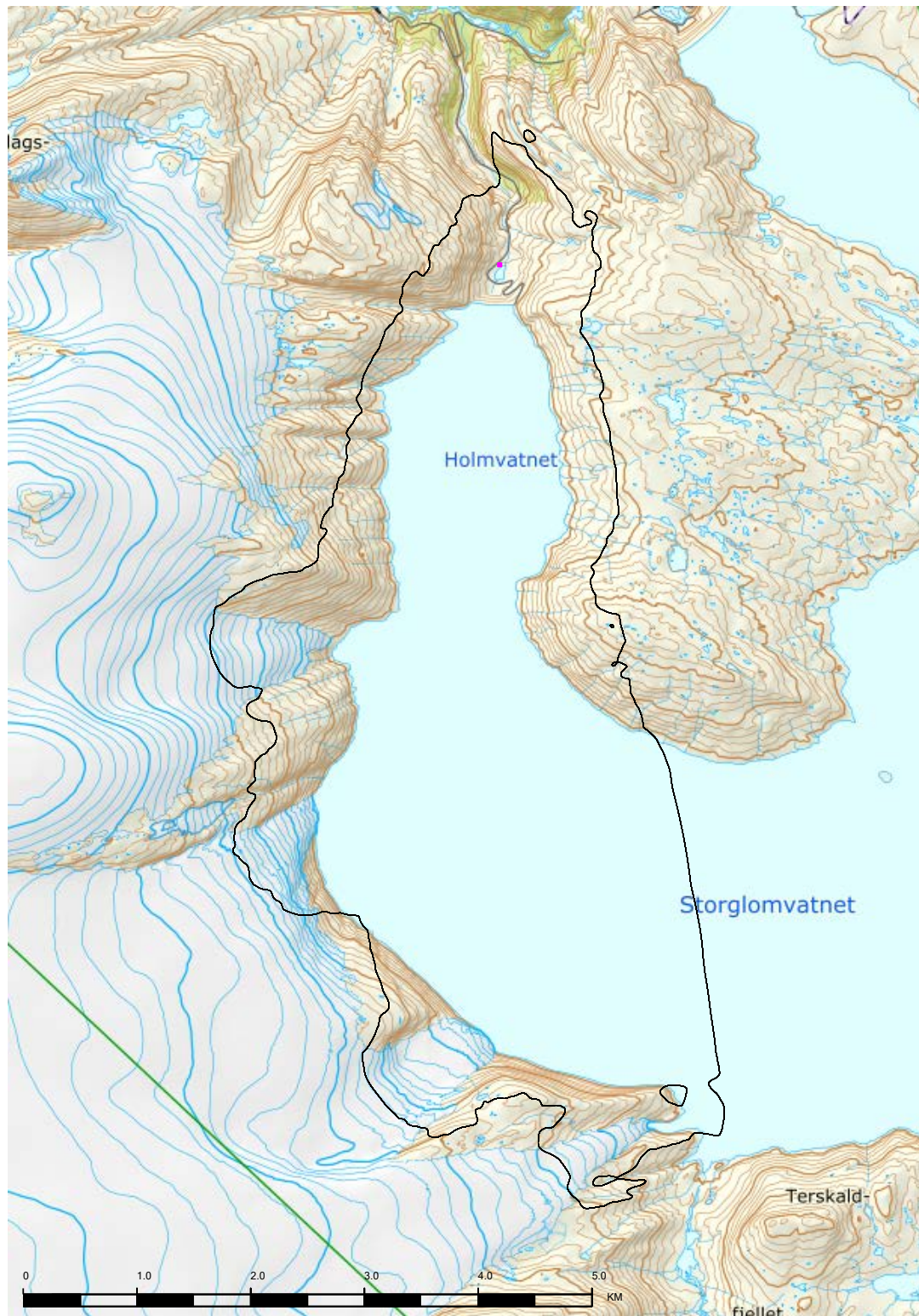
Figur 8-10. $L_{den} 40 \text{ dB}$, etter T-1442/2016. Scenario B – Uttak 4. M 1:50 000.

8.3 Sammenslåtte støysoner for Scenario B

Ved samlet vurdering av støybelastning over en lengre tidsperiode, kan det være relevant å slå sammen støykartene for de fire alternative uttakene. Dette er gjort her ved å vise det ytre omrisset av de fire alternative støysonene. Resultatet vil ikke vise en egentlig støysone i henhold til T-1442, fordi de ulike uttakene ikke vil være i bruk i samme sesong. Men, et sammenslått kart kan være nyttig om arealplanlegging skal dekke en lang tidsperiode, og man trenger et støykartet for å kunne "båndlegge" arealer gjennom en tilsvarende lang levetid. Sammenslåtte støysonekart med røde og gule soner er vist i figur 8-11, og tilsvarende sammenslåtte kart for stille områder er vist i figur 8-12.



Figur 8-11. Sammenslått støysonekart etter T-1442/2016. Scenario B. M 1:50 000.



Figur 8-12. Sammenslåtte kart for L_{den} 40 dB, etter T-1442/2016. Scenario B. M 1:50 000.

9 LITTERATUR

- [1] B. Griefahn, "MODELS TO DETERMINE CRITICAL LOADS FOR NOCTURNAL NOISE," in *Proceedings of the 6th International Congress on Noise as a Public Health Problem*, Nice, 1993.
- [2] H. M. E. Miedama and C. G. Oudshorn, "Annoyance from transportation noise: relationships with exposure metrics DNL and DENL and their confidence intervals.," *Environmental health perspectives*, vol. 109, pp. 409-416, 2001.
- [3] T. Gjestland, K. H. Liasjø, I. L. N. Granøien, and J. M. Fields, "RESPONSE TO NOISE AROUND OSLO AIRPORT FORNEBU," ELAB-RUNIT Report STF40 A90189, Trondheim, november 1990.
- [4] T. Gjestland, K. H. Liasjø, and I. L. N. Granøien, "RESPONSE TO NOISE AROUND VÆRNES AND BODØ AIRPORTS.," SINTEF DELAB Report STF40 A94095, Trondheim, august 1994.
- [5] F. Gelderblom, T. Gjestland, and I. L. N. Granøien, "UNDERSØKELSE AV STØYPLAGE VED NORSKE FLYPLASSER," Trondheim SINTEF A27596, Mars 2016 2016.
- [6] *DIRECTIVE 2002/49/EC OF THE EUROPEAN PARLIAMENT AND OF THE COUNCIL of 25 June 2002 relating to the assessment and management of environmental noise*, EC, 2002.
- [7] H. Olsen, K. H. Liasjø, and I. L. N. Granøien, "TOPOGRAPHY INFLUENCE ON AIRCRAFT NOISE PROPAGATION, AS IMPLEMENTED IN THE NORWEGIAN PREDICTION MODEL – NORTIM," SINTEF DELAB Report STF40 A95038, Trondheim, april 1995.
- [8] R. T. Randeberg, H. Olsen, and I. L. N. Granøien, "NORTIM VERSION 3.3. USER INTERFACE DOCUMENTATION," Report SINTEF A1683, Trondheim, juni 2007.
- [9] I. L. N. Granøien, R. T. Randeberg, and H. Olsen, "CORRECTIVE MEASURES FOR THE AIRCRAFT NOISE MODELS NORTIM AND GMTIM: 1) DEVELOPMENT OF NEW ALGORITHMS FOR GROUND ATTENUATION AND ENGINE INSTALLATION EFFECTS. 2) NEW NOISE DATA FOR TWO AIRCRAFT FAMILIES," SINTEF Report STF40 A02065, Trondheim, desember 2002.
- [10] B. Plovsing and J. Kragh, "COMPREHENSIVE OUTDOOR SOUND PROPAGATION MODEL," Nord2000 DELTA Report, Lyngby, desember 2000.
- [11] S. Å. Storeheier, R. T. Randeberg, I. L. N. Granøien, H. Olsen, and A. Ustad, "AIRCRAFT NOISE MEASUREMENTS AT GARDERMOEN AIRPORT, 2001. Part 1: SUMMARY OF RESULTS," SINTEF Report STF40 A02032, Trondheim, mars 2002.
- [12] J. Koopmann, A. Zubrow, A. Hansen, S. Hwang, and M. Ahearn, "Aviation Environmental Design Tool (AEDT) 2b User Guide," U.S. Department of Transportation, Volpe National Transportation Systems Center, Washington DC, USA2015.
- [13] W. R. Lundberg, "BASEOPS DEFAULT PROFILES FOR TRANSIENT MILITARY AIRCRAFT," AAMRL-TR-90-028, Harry G. Armstrong, Aerospace Medical Research Laboratory, Wright-Patterson AFB, Ohio, februar 1990.
- [14] OSL, "Noise Measurements on EC 225 and S 92 helicopters for development of NPD-data," August 2015 August 2015.
- [15] AgustaWestland, "AW101-612 External Noise Data for NAWSARH Environmental Impact Studies," October 2014
- [16] Miljøverndepartementet, "FORSKRIFT OM BEGRENSNING AV FORURENSNING" Forskrift FOR-2004-06-01-931 (Del 2, kapittel 5), Oslo, juni 2004.
- [17] A. Brekke, "NYE RETNINGSLINJER FOR FLYSTØY. KONSEKVENSER VEDRØRENDE STØYISOLERING AV BOLIGER I STØYSONE I OG II," Norges byggforskningsinstitutt rapport 7939, revidert utgave, Oslo, juni 1998.
- [18] A. Brekke, "ISOLERING MOT STØY FRÅ HELIKOPTER OG ULIKE FLYTYPER. ENTALLSVERDIER FOR STØYISOLERING FOR ULIKE BOLIGTYPER.," Notat fra Brekke og Strand til OSL AS, Aku 01 C, oktober 2013.
- [19] E. Osmundsen, "MÅLING AV FASADEISOLERING OG BEREGNING AV INNENDØRS STØYNIVÅ VED STAVANGER LUFTHAVN, SOLA," Miljøakustikk AS2011.



Teknologi for et bedre samfunn

www.sintef.no